

Implémentation Mfront de la théorie de microprécontrainte-solidification : Algorithme exponentiel

Jean-Luc ADIA (UPE), Julien Sanahuja (EDF R&D), Benoit
Barry (CEA)

30 Mai 2017

- 1 Théorie de la microprécontrainte-solidification
 - Définition de la déformation de fluage
 - Spectre continue des temps caractéristiques
 - Identification des paramètres matériaux
- 2 Integration numérique
 - Algorithme exponentiel
- 3 Résultats
 - Validations
 - Exemple : Influence de l'humidité
 - Exemple : Homogénéisation 3D

La déformation de fluage totale :

$$\dot{\epsilon}(t) = \dot{\epsilon}^{ei}(t) + \dot{\epsilon}^{ve}(t) + \dot{\epsilon}^{vi}(t) \quad (1)$$

La partie élastique initiale :

$$\dot{\epsilon}^{ei}(t) = \frac{1}{3} q_{1v} \dot{\sigma}^v(t) \mathbf{1} + \frac{1}{2} q_{1d} \dot{\sigma}^d(t) \quad (2)$$

La partie visqueuse :

$$\dot{\epsilon}^{vi}(t) = \frac{\sigma^v(t)}{3\eta_v(t)} \mathbf{1} + \frac{\sigma^d(t)}{2\eta_d(t)} \quad (3)$$

$$\frac{1}{\eta_a(t)} = c_0 q_{4a} s(t), \quad a = v, d \quad (4)$$

$$\dot{s}(t) + c_0 s^2(t) = c_1 \left| \frac{\dot{h}(t)}{h(t)} \right| \quad (5)$$

La déformation de fluage totale :

$$\dot{\epsilon}(t) = \dot{\epsilon}^{ei}(t) + \dot{\epsilon}^{ve}(t) + \dot{\epsilon}^{vi}(t) \quad (1)$$

La partie élastique initiale :

$$\dot{\epsilon}^{ei}(t) = \frac{1}{3} q_{1v} \dot{\sigma}^v(t) \mathbf{1} + \frac{1}{2} q_{1d} \dot{\sigma}^d(t) \quad (2)$$

La partie visqueuse :

$$\dot{\epsilon}^{vi}(t) = \frac{\sigma^v(t)}{3\eta_v(t)} \mathbf{1} + \frac{\sigma^d(t)}{2\eta_d(t)} \quad (3)$$

$$\frac{1}{\eta_a(t)} = c_0 q_{4a} s(t), \quad a = v, d \quad (4)$$

$$\dot{s}(t) + c_0 s^2(t) = c_1 \left| \frac{\dot{h}(t)}{h(t)} \right| \quad (5)$$

La partie viscoélastique :

$$\dot{\epsilon}^{ve}(t) = \dot{\gamma}^v(t)\mathbf{1} + \dot{\gamma}^d(t) \quad (6)$$

$$\gamma^v(t) = q_{2v} \int_0^t \frac{1}{v(t)} \Phi_v(t - t') d\sigma^v(t') \quad (7)$$

$$\gamma^d(t) = q_{2d} \int_0^t \frac{1}{v(t)} \Phi_d(t - t') d\sigma^d(t') \quad (8)$$

Fraction volumique apparente :

$$\frac{1}{v(t)} = (\lambda_0/t)^m + \alpha \quad (9)$$

Complaisance de fluage non-vieillissante :

$$\Phi_a(t - t') \approx \sum_{\mu=0}^N A_{\mu}^a [1 - \exp(-(t - t')/\tau_{\mu}^a)], a = v, d \quad (10)$$

La partie viscoélastique :

$$\dot{\epsilon}^{ve}(t) = \dot{\gamma}^v(t)\mathbf{1} + \dot{\gamma}^d(t) \quad (6)$$

$$\gamma^v(t) = q_{2v} \int_0^t \frac{1}{v(t)} \Phi_v(t - t') d\sigma^v(t') \quad (7)$$

$$\gamma^d(t) = q_{2d} \int_0^t \frac{1}{v(t)} \Phi_d(t - t') d\sigma^d(t') \quad (8)$$

Fraction volumique apparente :

$$\frac{1}{v(t)} = (\lambda_0/t)^m + \alpha \quad (9)$$

Complaisance de fluage non-vieillissante :

$$\Phi_a(t - t') \approx \sum_{\mu=0}^N A_{\mu}^a [1 - \exp(-(t - t')/\tau_{\mu}^a)], a = v, d \quad (10)$$

La partie viscoélastique :

$$\dot{\epsilon}^{ve}(t) = \dot{\gamma}^v(t)\mathbf{1} + \dot{\gamma}^d(t) \quad (6)$$

$$\gamma^v(t) = q_{2v} \int_0^t \frac{1}{v(t)} \Phi_v(t - t') d\sigma^v(t') \quad (7)$$

$$\gamma^d(t) = q_{2d} \int_0^t \frac{1}{v(t)} \Phi_d(t - t') d\sigma^d(t') \quad (8)$$

Fraction volumique apparente :

$$\frac{1}{v(t)} = (\lambda_0/t)^m + \alpha \quad (9)$$

Complaisance de fluage non-vieillissante :

$$\Phi_a(t - t') \approx \sum_{\mu=0}^N A_{\mu}^a [1 - \exp(-(t - t')/\tau_{\mu}^a)], a = v, d \quad (10)$$

Spectre continue $L^a(t)$:

$$\Phi_a(\xi) = \int_{\tau^a=0}^{+\infty} L^a(\tau) [1 - \exp(-\xi/\tau)] d(\ln \tau), \xi = t - t' \geq 0, a = v, d \quad (11)$$

Approximation d'ordre k du spectre continue :

$$L_k^a(\tau) = -\frac{(-k\tau)^k}{(k-1)!} \Phi_a^{(k)}(k\tau), a = v, d \quad (12)$$

Convergence vers le spectre continue :

$$L^a(\tau) = \lim_{k \rightarrow +\infty} L_k^a(\tau), a = v, d \quad (13)$$

- choix des formes analytiques $\Phi_a(t - t')$, $a = v, d$
- calcul de l'approximation d'ordre k du spectre continue $L_k^a(\tau)$
- choix des τ_μ^a
(τ_1 fixé, $\tau_0 = \tau_1/\sqrt{10}$, $\tau_\mu = 10^{\mu-1}\tau_1$, $\mu = 2, \dots, N$) et
détermination des A_μ^a , $a = v, d$ ($A_0 = \int_{\tau=0}^{\tau_0} L(\tau) d(\ln \tau)$,
 $A_\mu = (\ln 10)L(\tau_\mu)$)
- identification des paramètres matériaux q_{1a} , q_{2a} , $q_{3a} = \alpha q_{2a}$,
 q_{4a} ($a = v, d$), λ_0 , m par optimisation sur des essais de fluage
propre vieillissant ($h = cte$)
- identification des paramètres matériaux c_0 , c_1 par
optimisation sur des essais fluage sechant ($h = variable$).

- **Début du pas de temps** : initialisation des variables locales

$$t_{i+1/2}, \Delta y_{\mu}^a, \lambda_{\mu}^a, v_{i+1/2}^a, k'', \mu'', s_{i+1/2}, \eta_{i+1/2}^a$$

$$t_{i+1/2} = t_0 + \sqrt{t_{i+1} \cdot t_i} \quad (14)$$

$$\Delta y_{\mu}^a = \Delta t / \tau_{\mu}^a, \quad a = v, d \quad (15)$$

$$\lambda_{\mu}^a = \frac{1 - e^{-\Delta y_{\mu}^a}}{\Delta y_{\mu}^a}, \quad a = v, d \quad (16)$$

$$\frac{1}{v_{i+1/2}} = \left(\frac{\lambda_0}{t_{i+1/2}} \right)^m + \alpha \quad (17)$$

$$\frac{1}{k''} = q_{1v} + q_{2v} \frac{1}{v_{i+1/2}} \sum_{\mu=0}^N A_{\mu}^v (1 - \lambda_{\mu}^v) \quad (18)$$

$$\frac{1}{\mu''} = q_{1d} + q_{2d} \frac{1}{v_{i+1/2}} \sum_{\mu=1}^N A_{\mu}^d (1 - \lambda_{\mu}^d) \quad (19)$$

$$\xi = \sqrt{c_0 c_1 \Delta t |\Delta \ln(h)|} \quad (20)$$

$$\omega = \begin{cases} \tan(\Delta\xi)/\Delta\xi & \Delta h > 0 \text{ et } \Delta\xi > 10^{-5}, \\ \tanh(\Delta\xi)/\Delta\xi & \Delta h < 0 \text{ et } \Delta\xi > 10^{-5}, \\ 1 & \Delta\xi \leq 10^{-5}, \end{cases} \quad (21)$$

$$s_{i+1} = \frac{s_i + c_1 \omega |\Delta(\ln h)|}{1 + c_0 s_i \omega \Delta t} \quad (22)$$

$$s_{i+1/2} = s_i + (s_{i+1} - s_i)/2 \quad (23)$$

$$\eta_{i+1/2}^a = \frac{1}{c_0 q_{4a} s_{i+1/2}}, \quad a = v, d \quad (24)$$

- **Itérations** : estimation de $\sigma_{i+1/2}$ à partir de $\Delta\sigma$ de l'itération précédente et chercher $\Delta\varepsilon$ jusqu'à vérifier l'équilibre de la structure pour l'incrément de contrainte $\Delta\sigma$ calculé à partir l'Eq. 30 :

$$\sigma_{i+1/2} = \sigma_i + \Delta\sigma/2 \quad (25)$$

$$\Delta\gamma^{v'''} = \frac{1}{v_{i+1/2}} \sum_{\mu=0}^N (1 - e^{-\Delta y_{\mu}^v}) (q_{2v} A_{\mu}^v \frac{\sigma_{i+1/2}^v}{3} - \gamma_{\mu}^v) \quad (26)$$

$$\Delta\gamma^{d'''} = \frac{1}{v_{i+1/2}} \sum_{\mu=0}^N (1 - e^{-\Delta y_{\mu}^d}) (q_{2d} A_{\mu}^d \frac{\sigma_{i+1/2}^d}{2} - \gamma_{\mu}^d) \quad (27)$$

$$\Delta \varepsilon^{v'''} = \Delta \gamma^{v'''} + \frac{\Delta t \sigma_{i+1/2}^v}{3 \eta_{i+1/2}^v} \quad (28)$$

$$\Delta \varepsilon^{d'''} = \Delta \gamma^{d'''} + \frac{\Delta t \sigma_{i+1/2}^d}{2 \eta_{i+1/2}^d} \quad (29)$$

$$\Delta \sigma = 3k''(\Delta \varepsilon^v - \Delta \varepsilon^{v''})\mathbf{1} + 2\mu''(\Delta \varepsilon^d - \Delta \varepsilon^{d''}) \quad (30)$$

- **Fin du pas de temps** : si l'équilibre est atteint à l'étape précédente, mettre à jour les variables :

$$\sigma_{i+1} = \sigma_i + \Delta\sigma \quad (31)$$

$$\varepsilon_{i+1} = \varepsilon_i + \Delta\varepsilon \quad (32)$$

$$\gamma_{\mu_{i+1}}^v = \gamma_{\mu_i}^v e^{-\Delta y_{\mu}^v} + \frac{1}{3} q_{2v} A_{\mu}^v \sigma_i^v (1 - e^{-\Delta y_{\mu}^v}) + \frac{1}{3} q_{2v} A_{\mu}^v (1 - \lambda_{\mu}^v) \Delta\sigma^v \quad (33)$$

$$\gamma_{\mu_{i+1}}^d = \gamma_{\mu_i}^d e^{-\Delta y_{\mu}^d} + \frac{1}{2} q_{2d} A_{\mu}^d \sigma_i^d (1 - e^{-\Delta y_{\mu}^d}) + \frac{1}{2} q_{2d} A_{\mu}^d (1 - \lambda_{\mu}^d) \Delta\sigma^d \quad (34)$$

$$\gamma_{\mu_{i+1}} = \gamma_{\mu_{i+1}}^v \mathbf{1} + \gamma_{\mu_{i+1}}^d \quad (35)$$

Fonction de fluage non-vieillissante :

$$\Phi^a(\xi) = \ln(1 + \xi^b), \quad \xi = \frac{t - t'}{\lambda_0}, \quad \lambda_0 = 1 \text{ jour et } b = 0.11, \quad a = v, d. \quad (36)$$

La complaisance de fluage exacte :

$$F_a(t, t') = q_{1a} + q_{2a}Q(t, t') + q_{3a}\ln\left[1 + \left(\frac{t-t'}{\lambda_0}\right)\right] + q_{4a}c_0 \int_{t'}^t s(\tau) d\tau, \quad a = v, d \quad (37)$$

$$Q(t, t') = \int_{t'}^t \left(\frac{\lambda_0}{\tau}\right) \frac{b(\tau - t')^{b-1}}{\lambda_0^b + (\tau - t')^b} d\tau \quad (38)$$

- Approximation d'ordre 3 du spectre continue :

$$L_3(\tau) = \frac{27}{3}\tau\Phi^3(3\tau) = \frac{b(b-1)(b-2)(3\tau)^b}{2[1+(3\tau)^b]} - \frac{3b^2(b-1)(3\tau)^{2b}}{2[1+(3\tau)^b]^2} + \frac{b^3(3\tau)^{3b}}{[1+(3\tau)^b]^3} \quad (39)$$

- $\tau_1 = 10^{-4}$ jour et $N = 10$:

$$A_0 = \ln(1+(2\tau'_0)^b) - \frac{b(2\tau'_0)^b}{1+(2\tau'_0)^b} + \int_{\tau'_0}^{\tau_0} L_3(\tau)d(\ln(\tau)), \quad \tau'_0 = 10^{-20} \quad (40)$$

$$A_\mu = \ln(10)L_3(\mu) \quad (41)$$

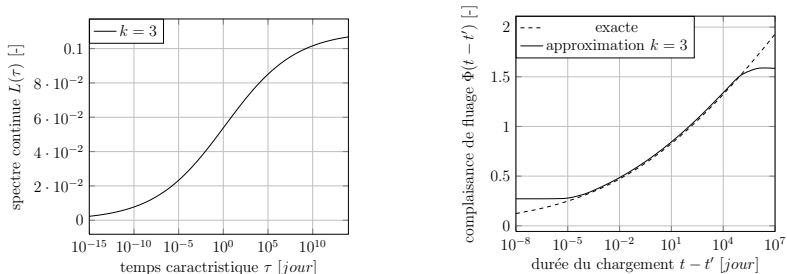


FIGURE: Approximation d'ordre $k = 3$ du spectre continue $L(\tau)$ et de la fonction de complaisance non-vieillissante $\phi(t - t')$.

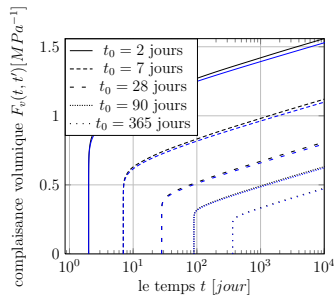
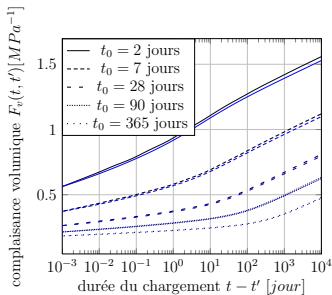


FIGURE: Complaisance volumique de fluage $F_v(t, t')$ pour $h(t) = 1$ (cte). En noir : Mtest et en blue : complaisance exacte.

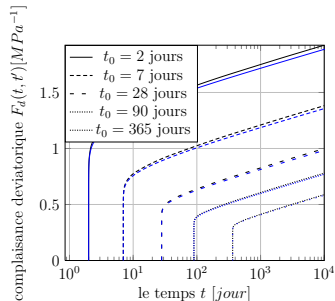
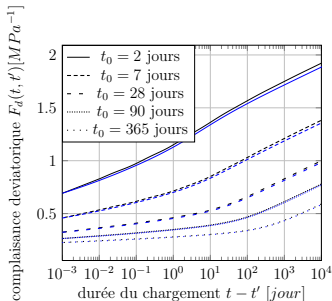


FIGURE: Complaisance deviatorique de fluage $F_d(t, t')$ pour $h(t) = 1$ (cte). En noir : Mtest et en blue : complaisance exacte.

- Influence de l'humidité sur les complaisances volumique et déviatorique

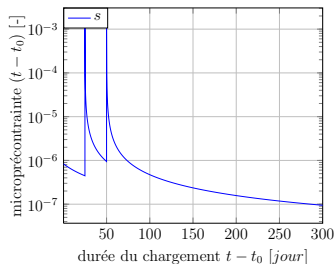
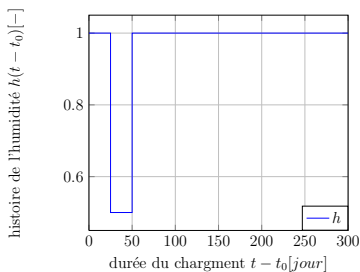


FIGURE: Variation de l'humidité et relaxation de la microprécontrainte.

- Influence de l'humidité sur les complaisances volumique et déviatorique

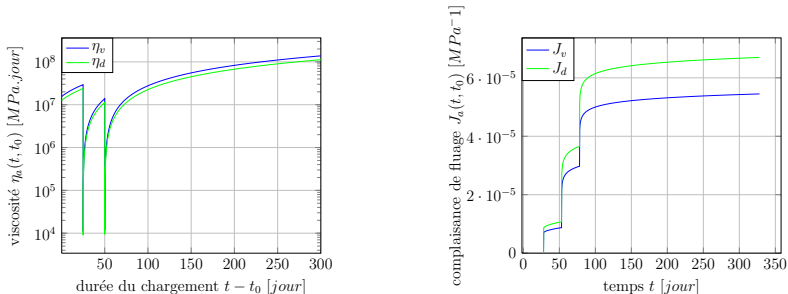


FIGURE: Variation de la viscosité du terme visqueux et complaisance de fluage volumique et déviatorique.

- condition aux limites : $\mathbf{u}(t) = \mathbf{E}(t) \cdot \mathbf{x} + \mathbf{u}'(t)$ (\mathbf{u}' périodique)
- histoire d'humidité uniforme dans la phase solide
 $h(x, t) = h(t)$
- interface solide-pore (bleu) libre

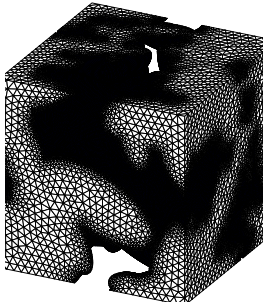


FIGURE: Maillage de la microstructure poreuse, 638883 nœuds et 3475860 tétraèdres.

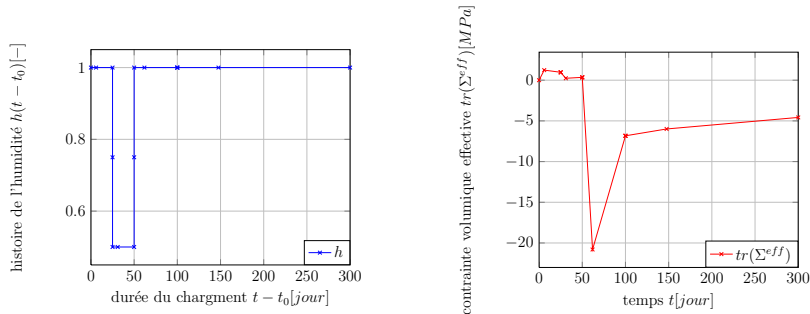


FIGURE: Influence de l'humidité sur la relaxation volumique.